#### **BAB II**

## LANDASAN TEORI

#### 2.1 Landasan Teori

#### 2.1.2. Cuaca Ekstrem

Cuaca ekstrem merupakan peristiwa alam yang ditandai oleh kondisi seperti suhu udara, curah hujan, dan kecepatan angin, serta jarak pandang, di luar kisaran normal yang dapat menyebabkan kerugian, terutama terhadap keselamatan jiwa dan harta benda (BMKG, 2022). Variabel-variabel tersebut digunakan untuk menentukan pola cuaca yang berpotensi menimbulkan cuaca ekstrem yang berdampak pada lingkungan dan aktivitas manusia. Penjelasan lebih lanjut mengenai masing-masing variabel tersebut disajikan pada bagian berikut.

## 1. Suhu minimum dan suhu maksimum

Suhu udara merupakan ukuran yang mencerminkan kondisi termal dan radiasi atmosfer yang mengelilingi bumi (Sedrakyan et al., 2023). Paparan suhu udara ekstrem meningkatkan risiko terjadinya fenomena gelombang panas dan dingin, yang berdampak buruk pada kesehatan manusia (Danova, 2023). Suhu ekstrem menjadi indikator utama dalam menentukan potensi cuaca ekstrem seperti gelombang panas atau dingin, yang dapat mempengaruhi kehidupan manusia dan ekosistem. Oleh karena itu, kedua variabel ini dipilih untuk memahami pola perubahan suhu yang dapat mengarah pada kondisi ekstrem.

## 2. Curah Hujan

Curah hujan merujuk pada jumlah air hujan yang terakumulasi di suatu lokasi tertentu yang diukur dalam satuan milimeter (Fendi Prasetyo & Feri Efendi, 2024). Curah hujan yang ekstrem dalam bentuk hujan lebat dapat menyebabkan bencana alam. Curah hujan yang tinggi dapat memicu banjir dan tanah longsor, yang berdampak negatif pada manusia, dan aspek sosial ekonomi (Sato & Shuin, 2023).Maka dari itu, variabel ini dipilih karena intensitas hujan yang tinggi dapat menjadi indikator penting dalam mendeteksi potensi cuaca ekstrem dan bencana hidrometeorologi.

#### 3. Kecepatan angin

Kecepatan angin adalah laju pergerakan udara yang diukur dalam satuan meter per detik (m/s) atau kilometer per jam (km/jam). Kecepatan angin yang tinggi sering kali terkait dengan fenomena cuaca ekstrem seperti badai tropis, tornado, dan siklon. Angin kencang dapat menyebabkan kerusakan bangunan, menghambat transportasi, dan berkontribusi terhadap eskalasi bencana lainnya seperti kebakaran hutan yang menyebar lebih cepat (Mazumder et al., 2023). Oleh karena itu, variabel ini dipilih untuk memahami hubungan antara pola angin dan kejadian cuaca ekstrem.

#### 2.1.3. Peramalan

Peramalan merupakan metode analisis data historis untuk mengidentifikasi pola dan membuat prediksi terhadap kejadian di masa depan (Garg et al., 2022). Berbagai model peramalan telah dikembangkan untuk menangani beragam jenis data dan kebutuhan prediksi, termasuk model statistik seperti ARIMA, serta model

berbasis *deep learning* seperti LSTM, dan GRU. Pemilihan model yang tepat sangat bergantung pada sifat data yang diprediksi. Dalam peramalan, penting untuk memilih model yang sesuai untuk meningkatkan akurasi hasil prediksi, terutama ketika data yang digunakan memiliki pola tertentu yang harus dipertimbangkan.

Peramalan banyak digunakan dalam berbagai bidang, seperti ekonomi, bisnis, dan cuaca, untuk membantu pengambilan keputusan yang lebih baik (Kolambe & Arora, 2024). Dalam peramalan cuaca, model peramalan digunakan untuk memprediksi variabel meteorologi seperti suhu, curah hujan, dan kecepatan angin dengan tujuan untuk memberikan informasi yang akurat dan tepat waktu bagi masyarakat dan pihak berwenang. Mengingat sifat data cuaca yang kompleks, pemilihan metode yang tepat menjadi kunci untuk meningkatkan akurasi peramalan cuaca.

## 2.1.4. Data Pre-processing

Data Pre-processing adalah proses mengubah data ke dalam format yang lebih optimal agar dapat diproses secara lebih cepat dan efisien dalam data mining, machine learning, serta berbagai tugas data science lainnya (Varma et al., 2023). Proses ini bertujuan untuk memastikan bahwa data yang digunakan bersih, terstruktur, dan siap untuk diproses lebih lanjut. Adapun beberapa tahapan data pre-processing dalam penelitian ini adalah sebagai berikut

#### 1. Date time index

Date time index merupakan proses penataan data time series dengan memastikan bahwa setiap titik data memiliki indeks waktu yang tepat dan

konsisten, yang sangat penting dalam analisis data berbasis waktu (Khan et al., 2024).

# 2. Handling missing values

Handling missing values merupakan serangkaian teknik untuk mengatasi ketidaklengkapan data dalam suatu dataset, khususnya pada data time series, melalui penghapusan entri, imputasi berbasis metode statistik, atau pendekatan model guna menjaga kualitas serta integritas data (El-Bakry et al., 2021). Dengan menerapkan teknik handling missing values yang sesuai, kualitas serta integritas data dapat tetap terjaga, sehingga hasil prediksi atau analisis tidak mengalami distorsi akibat hilangnya informasi penting.

## 3. Ekstraksi Fitur Waktu

Ekstraksi fitur waktu merupakan salah satu tahapan dalam *preprocessing* data *time series* yang bertujuan untuk mengungkap pola temporal tersembunyi yang mungkin tidak langsung terlihat dari nilai data mentah (Chernikov et al., 2022). Dalam konteks data cuaca, informasi waktu seperti tahun, bulan, hari, dan jam dapat berperan penting karena variabel-variabel meteorologis sering kali menunjukkan pola musiman, tren tahunan, dan fluktuasi periodik.

#### 4. Data Normalization

Normalisasi data dalam *deep learning* merupakan tahap *preprocessing* yang bertujuan untuk menyelaraskan rentang nilai variabel *input* guna meningkatkan kinerja model (Tran et al., 2021). Dalam penelitian ini, metode *Min-Max Scaling* digunakan untuk mereskalakan nilai fitur ke dalam rentang [0,1] sehingga distribusi

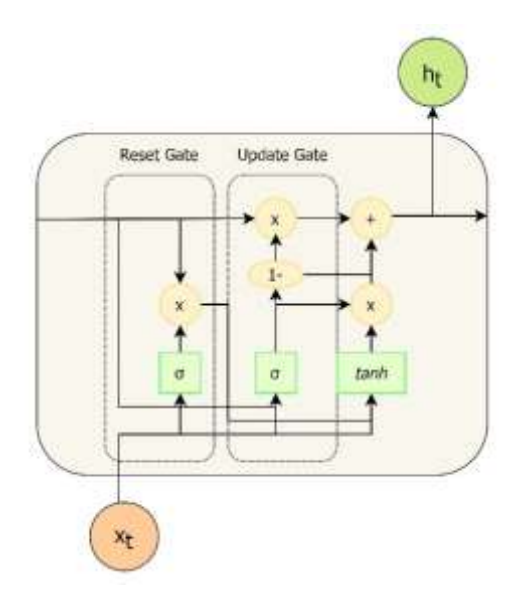
relative data tetap terjaga. Proses normalisasi dalam penelitian ini dilakukan menggunakan Persamaan 2.1.

$$X' = \frac{X - X_{min}}{X_{max} - X_{min}} \tag{2.1}$$

X adalah nilai asli fitur,  $X_{min}$  adalah nilai minimum dari fitur, dan  $X_{max}$  adalah nilai maksimum dari fitur.

# 2.1.5. Gated Recurrent Unit (GRU)

Gated Recurrent Unit atau GRU adalah salah satu varian dari Recurrent Neural Network (RNN) yang dirancang khusus untuk menangani data time series (Mahan Zaky, 2022). GRU memiliki arsitektur yang ringan karena tidak menggunakan cell state seperti pada LSTM, melainkan langsung memperbarui hidden state. Hal ini membuat GRU lebih cepat dalam proses pelatihan dan lebih efisien dalam penggunaan memori, Arsitektur dari model GRU dapat dilihat pada Gambar 2.1



Gambar 2. 1 Model GRU

GRU memiliki dua *gate* utama, yaitu *update gate* dan *reset gate* (Meriani & Rahmatulloh, 2024). Adapun penjelasan mengenai masing-masing *gate* adalah sebagai berikut:

## 1. Reset Gate

Reset gate berfungsi untuk mengontrol informasi sebelumnya yang harus dilupakan (Zahri et al., 2023).. Persamaan pada reset gate dinyatakan pada Persamaan 2.2.

$$r_t = \sigma(w_r[h_{t-1}, x_t] + b_r)$$
 (2.2)

 $r_t$  merupakan vektor reset gate,  $\sigma$  adalah fungsi aktivasi sigmoid,  $w_r$  dan  $b_r$  masing-masing adalah bobot serta bias pada reset gate,  $h_{t-1}$  menunjukkan status tersembunyi pada waktu sebelumnya, sedangkan  $x_t$  merepresentasikan input pada waktu t.

# 2. Update gate

Update gate berfungsi untuk menentukan seberapa banyak informasi sebelumnya yang harus dipertahankan (Zahri et al., 2023). Persamaan pada update gate dinyatakan pada Persamaan 2.3.

$$z_t = \sigma(w_z [h_{t-1}, x_t] + b_z) \tag{2.3}$$

 $z_t$  merupakan vektor update gate,  $\sigma$  adalah fungsi aktivasi sigmoid,  $w_z$  dan  $b_z$  masing-masing adalah bobot serta bias pada update gate,  $h_{t-1}$ menunjukkan status tersembunyi sebelumnya, sedangkan  $x_t$  merepresentasikan input pada waktu t.

#### 3. Candidate hidden state

Candidate hidden state  $\tilde{h}_t$  adalah lapisan aktivasi tanh yang menghitung candidate hidden state baru berdasarkan input saat ini dan hidden state sebelumnya, yang diatur oleh reset gate. Perhitungan candidate hidden state dilakukan dengan Persamaan 2.4.

$$\tilde{h}_t = \tanh(W_h[r_t * h_{t-1}, x_t] + b_h)$$
 (2.4)

 $\widetilde{h_t}$  merupakan *candidate hidden state*, t tanh adalah fungsi aktivasi tanh,  $W_h$ dan  $b_h$ masing-masing adalah bobot serta bias pada *candidate hidden state*,  $r_t$ adalah *vektor reset gate*,  $h_{t-1}$  menunjukkan status tersembunyi sebelumnya, dan  $x_t$ merupakan *input* pada waktu t.

## 4. New hidden state

Terakhir, dilakukan perhitungan *new hidden state* ( $h_t$ ) yang merupakan kombinasi dari *hidden state* sebelumnya dan *candidate hidden state*, yang diatur oleh *update gate*. Perhitungan *new hidden state* dilakukan dengan Persamaan 2.5.

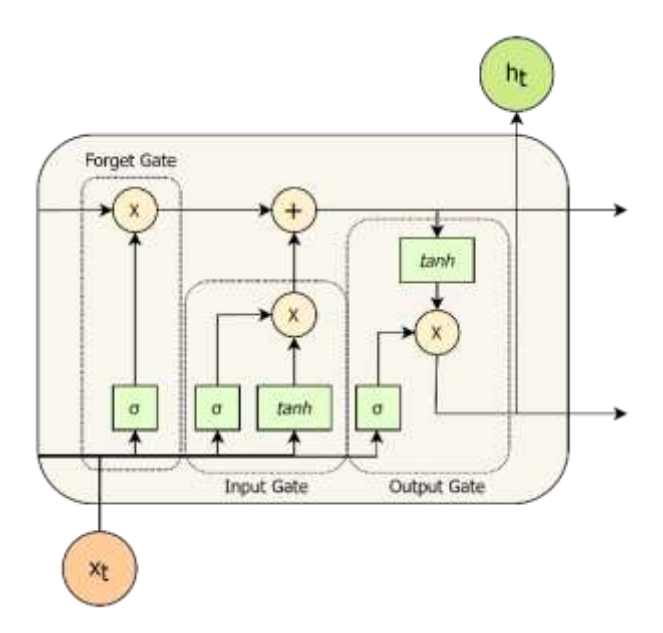
$$h_t = (1 - z_t) * h_{t-1} + z_t * \tilde{h}_t$$
 (2.5)

 $h_t$  adalah hidden state baru pada waktu t,  $z_t$  merupakan vektor update gate yang menentukan proporsi antara hidden state sebelumnya  $h_{t-1}$ , dan candidate hidden state  $h_t$ 

# 2.1.6. Long Short Term Memory (LSTM)

Long Short Term Memory atau LSTM adalah varian Recurrent Neural Network (RNN) yang dirancang untuk mengolah data time series dan mengatasi masalah vanishing serta exploding gradient yang sering terjadi pada RNN (Kurnia

Tiara Putri & Danny Wowor, 2024). LSTM dikenal karena kemampuannya yang unggul dalam mempertahankan informasi dalam jangka waktu yang panjang sehingga banyak digunakan dalam berbagai aplikasi berbasis sekuensial, seperti prediksi cuaca, analisis finansial, *natural language processing*, dan deteksi anomali dalam data sensor (Zulfa et al., 2021). Meskipun lebih kompleks dibandingkan dengan RNN biasa, keunggulan LSTM dalam menangani ketergantungan jangka panjang membuatnya menjadi salah satu model yang paling populer dalam pemodelan *time series*. Arsitektur dari LSTM dapat dilihat pada Gambar 2.2.



Gambar 2. 2 Model LSTM

LSTM memiliki struktur yang lebih kompleks dengan tiga gerbang utama yakni *forget gate, input gate,* dan *output gate*, yang berfungsi untuk mengatur aliran informasi masuk dan keluar *memory cell* (Jothidurai et al., 2023). Adapun penjelasan mengenai masing-masing *gate* adalah sebagai berikut:

#### 1. Forget gate

Forget gate adalah gerbang yang memutuskan informasi mana yang akan disimpan atau dibuang (Nazhiroh et al., 2024). Perhitungan forget gate dilakukan dengan Persamaan 2.6 dan Persamaan 2.7.

$$ft = \sigma(W_f[h_{t-1}, x_t] + b_f)$$
 (2.6)

ft adalah vektor forget gate,  $\sigma$  adalah fungsi aktivasi sigmoid,  $W_f$  dan  $b_f$  masing-masing merupakan bobot dan bias forget gate,  $h_{t-1}$ adalah hidden state sebelumnya, dan  $x_t$ adalah input saat ini.

$$C_t = f_t * C_{t-1} + i_t * \widetilde{C}_t \tag{2.7}$$

 $C_t$  adalah *cell state*, ft adalah *vektor forget gate*,  $C_{t-1}$  *adalah cell state time* step sebelumnya,  $i_t$  adalah *vektor input gate*, dan  $\widetilde{C}_t$  adalah kandidat cell state.

## 2. Input gate

Input gate adalah gerbang yang menerima informasi dari hidden state cell sebelumnya dan input baru, lalu diproses dengan fungsi sigmoid dan tanh (Nazhiroh et al., 2024). Perhitungan input gate dilakukan dengan Persamaan 2.8 dan Persamaan 2.9.

$$i_t = \sigma(W_{i,}[h_{t-1}, x_t] + b_i)$$
 (2.8)

 $i_t$  adalah *vektor input gate*,  $\sigma$  adalah fungsi aktivasi sigmoid,  $W_i$  dan  $b_i$  masing-masing merupakan bobot dan bias *input gate*,  $h_{t-1}$ adalah *hidden state* sebelumnya, dan  $x_t$ adalah *input* pada waktu t.

$$\widetilde{C}_t = \tanh(W_C[h_{t-1}, x_t] + b_C) \tag{2.9}$$

 $\widetilde{C}_t$  adalah kandidat cell state, tanh adalah fungsi aktivasi tangens hiperbolik,  $W_C$  dan  $b_C$  masing-masing merupakan bobot dan bias untuk *cell state*, sementara  $h_{t-1}$  dan  $x_t$  tetap merujuk pada *hidden state* sebelumnya dan *input* saat ini.

## 3. Output Gate

Output gate adalah gerbang yang menentukan hidden state yang akan dikirim ke cell berikutnya (Nazhiroh et al., 2024). Perhitungan output gate dilakukan dengan Persamaan 2.10 dan 2.11.

$$o_t = \sigma(W_o [h_{t-1}, x_t] + b_o)$$
 (2.10)

 $o_t$  adalah vektor output gate,  $\sigma$  merupakan fungsi aktivasi sigmoid,  $W_o$  dan  $b_o$  masing-masing adalah bobot dan bias output gate,  $h_{t-1}$  adalah hidden state sebelumnya, dan  $x_t$  adalah input saat ini.

$$h_t = o_t * \tanh(C_t) \tag{2.11}$$

 $h_t$  adalah hidden state pada waktu t,  $o_t$  adalah output gate, dan  $C_t$  adalah cell state pada waktu t, sedangkan tanh adalah fungsi aktivasi tangens hiperbolik yang digunakan untuk mengatur skala nilai cell state sebelum menghasilkan output hidden state.

# 2.1.7. Model Hybrid dalam Deep Learning

Model *hybrid* dalam *deep learning* merupakan pendekatan yang menggabungkan dua atau lebih arsitektur jaringan saraf guna mengoptimalkan adaptivitas terhadap data dan kinerja model dalam menyelesaikan permasalahan yang kompleks (Kraft et al., 2020). Dalam konteks data *time series*, model *hybrid* sering digunakan untuk menggabungkan kemampuan beberapa unit RNN

(Recurrent Neural Network), seperti GRU (Gated Recurrent Unit) dan LSTM (Long Short-Term Memory), guna meningkatkan akurasi prediksi dan stabilitas pembelajaran.

Penelitian ini menggabungkan GRU dan LSTM dalam satu model *hybrid* yang bertujuan untuk memanfaatkan GRU yang memiliki akurasi tinggi dan efesiensinya dalam memproses data secara cepat, serta keunggulan LSTM dalam menangani dependensi jangka panjang. Dengan mengombinasikan kedua jenis sel ini, model dapat menangkap pola temporal baik jangka pendek maupun jangka panjang secara lebih efektif, terutama pada data cuaca yang bersifat musiman dan fluktuatif.

#### 2.1.8. Evaluation

Evaluasi model merupakan tahap penting dalam penelitian untuk menilai seberapa baik hasil prediksi suatu model dengan data aktual (Plevris et al., 2022). Dalam penelitian ini, kinerja model diukur menggunakan tiga metrik evaluasi utama, yaitu *Mean Squared Error* (MSE), *Mean Absolute Error* (MAE), dan *Root Mean Squared Error* (RMSE).

## 1. *Mean Absolute Error* (MAE)

MAE adalah metrik evaluasi yang mengukur rata-rata kesalahan absolut antara nilai prediksi dan nilai aktual (Hodson, 2022). Metrik ini lebih mudah diinterpretasikan karena memiliki satuan yang sama dengan data aslinya. Nilai MAE dapat dihitung dengan Persamaan 2.12

$$MAE = \frac{1}{n} \sum_{i=1}^{n} |y_i - y_i|$$
 (2.12)

# 2. Mean Squared Error (MSE)

MSE adalah metrik yang menghitung rata-rata kuadrat selisih antara nilai yang diprediksi dan nilai aktual (Wang et al., n.d.). Metrik ini sangat sensitif terhadap kesalahan besar, sehingga memberikan penalti lebih tinggi pada prediksi yang jauh dari nilai sebenarnya. MSE dirumuskan pada Persamaan 2.13.

$$MSE = \frac{1}{n} \sum_{i=1}^{n} |y_i - y_i|^2$$
 (2.13)

# 3. Root Mean Squared Error (RMSE)

RMSE merupakan akar kuadrat dari MSE dan memberikan ukuran kesalahan dalam satuan yang sama dengan data asli (Hodson, 2022). RMSE dapat dihitung menggunakan Persamaan 2.14.

$$RMSE = \sqrt{\frac{1}{n} \sum_{i=1}^{n} |y_i - y_i|^2}$$
 (2.14)

# 2.2 Penelitian Terkait

# 2.2.1. State of the art

Penelitian ini memuat tinjauan pustaka yang disusun berdasarkan rumusan masalah dan tujuan yang telah ditetapkan. Tabel 2.1 menyajikan beberapa penelitian terdahulu yang relevan sebagai referensi utama.

Tabel 2. 1 State of the Art

No	Penulis	Algoritma	Fitur	Fokus Pembahasan					
1	(Furizal et al.,	GRU	Suhu	Penelitian ini menganalisis kinerja model LSTM dan GRU dalam					
	2024)	LSTM		peramalan suhu udara. Fokusnya adalah membandingkan efektivitas					
				kedua model menggunakan metrik evaluasi seperti RMSE. Hasil					
				penelitian menunjukkan bahwa GRU memberikan kinerja yang lebih					
				stabil dan akurat dengan rentang RMSE 2.00 dibandingkan LSTM yang					
				memiliki rentang RMSE 2.28.					
2	(Gaol et al.,	LSTM	Curah hujan	Penelitian ini menyelidiki prediksi meteorologi di Tangerang selatan					
	2024)	MLP		menggunakan model LSTM dan MLP, dengan fokus pada prediksi curah					
				hujan. Hasil penelitian ini menunjukkan prediksi curah hujan bulanan					
				menggunakan MLP menghasilkan nilai RMSE sebesar 90,19, dan MAPE					

No	Penulis	Algoritma	Fitur	Fokus Pembahasan			
				sebesar 40,55, sedangkan model LSTM menghasilkan nilai RMSE			
				sebesar 88,12 dan MAPE sebesar 40,49.			
3	(Yan et al.,	GRU +	Kecepatan	Hasil eksperimen menunjukkan bahwa model hybrid deep learning yang			
	2020)	attention	angin rata-	menggabungkan GRU dan attention mechanism memiliki kinerja prediksi			
		mechanism	rata	yang lebih baik dibandingkan dengan model-model tradisional seperti			
			Kecepatan	LSTM dan GRU standar. Hasil evaluasi menunjukkan bahwa model $\mathit{GRU}$			
			angin	Attention mencapai nilai MAE 26.49, RMSE 36.23, dan MAPE 5.80			
			puncak	untuk musim semi, serta performa yang lebih baik dibandingkan dengan			
			Solar	model tradisional seperti LSTM.			
			irradiance				
4	(J. Lee et al.,	ANN	Curah hujan	Penelitian ini,berfokus pada prediksi curah hujan menggunakan model			
	2020)			ANN selama bulan Mei dan Juni untuk cekungan Sungai Han, Korea			
				Selatan. Hasil peramalan curah hujan menunjukkan RMSE sebesar 27,4,			
				33,6, dan 39,5 mm, dan koefisien korelasi rata-rata sebesar 0,809, 0,725,			
				dan 0,641 untuk set pelatihan, validasi, dan pengujian.			
5	(Alam et al.,	LSTM	Suhu	Perbandingan model LSTM, CNN, dan RNN dalam peramalan cuaca			
	2024)	CNN	Kecepatan	untuk mengetahui model yang paling. Hasil penelitian menunjukan			
		RNN	angin				

No	Penulis	Algoritma	Fitur	Fokus Pembahasan					
				bahwa LSTM mengungguli CNN dan RNN dengan nilai AUC tertinggi					
				sebesar 0.999.					
6	(Chen et al.,	LSTM	Curah hujan	Hasil penelitian menunjukkan bahwa model LSTM lebih efisien					
	2022)			dibandingkan dengan model RF dalam memprediksi curah hujan. Hasil					
				metrik evaluasi menunjukkan bahwa model LSTM menghasilkan					
				peningkatan RMSE antara 12.2% hingga 14.9%					
7	(Kieu Tran et	LSTM dan	Suhu	Hasil penelitian menunjukkan bahwa model hybrid yang menggabungkan					
	al., 2020)	GA	maksimum	LSTM dan GA memberikan performa terbaik untuk ramalan jangka					
				panjang, dengan LSTM menunjukkan keunggulan dibandingkan RNN					
				dan ANN, terutama untuk ramalan 15 hari ke depan. Hasil evaluasi					
				menunjukkan bahwa model LSTM yang dioptimalkan dengan GA					
				mencapai RMSE sebesar 2.719°C untuk ramalan suhu maksimum.					
8	(Suresh et al.,	CNN-LSTM	Irradiation	Model dalam penelitian ini mengembangkan algoritma peramalan output					
	2020)		Kecepatan	panel surya menggunakan CNN dengan pendekatan sliding window. Hasil					
			angin	evaluasi menunjukkan bahwa model CNN-LSTM memberikan performa					
			Suhu	terbaik dengan MAE sebesar 0.0148 kW dan RMSE sebesar 0.0182 kW,					
				lebih baik dibandingkan model CNN biasa yang memiliki MAE 0.0164					
				kW dan RMSE 0.0203 kW.					

No	Penulis	Algoritma	Fitur	Fokus Pembahasan					
9	(Bi et al., 2023)	3D deep neural	Suhu	Hasil evaluasi model mencatat RMSE sebesar 296.7 untuk ramalan					
		networks	Wind speed	geopotential height (Z500) selama 5 haris, lebih rendah dibandingkan					
			Geopotentia	dengan RMSE IFS yang mencapai 333.7 dan FourCastNet yang mencapai					
			l height	462.5. Selain itu, model ini lebih dari 10.000 kali lebih cepat dalam waktu					
				inferensi dibandingkan IFS.					
10	(Kumar et al.,	ConvLSTM	Curah hujan	Penelitian menunjukkan bahwa model ConvLSTM berhasil menangkap					
	2021)			pola curah hujan dengan baik, terutama di daerah seperti Western Ghats					
				dan Monsoon trough, dengan koefisien korelasi mencapai 0.67 untuk lead					
				day 1 dan 0.42 untuk lead day 2.					
11	(S. Lee et al.,	CNN	Suhu harian	Fokus pembahasan dalam penelitian ini adalah membandingkan kinerja					
	2020)		rata-rata	model-model <i>neural network</i> dalam meramalkan suhu dengan					
			Suhu harian	menggunakan data input yang berbeda. Dalam penelitian ini, model					
			minimum	terbaik yang digunakan untuk meramalkan suhu harian adalah CNN.					
			Suhu harian	Model ini menunjukkan performa terbaik dengan nilai evaluasi RMSE					
			maksimum	2.98 ketika menggunakan data <i>input</i> jam, mengungguli model lainnya.					

No	Penulis	Algoritma	Fitur	Fokus Pembahasan					
12	(Del Real et al.,	CNN + ANN	Suhu	Model CNN +ANN menunjukkan kinerja yang lebih baik dibandingkan					
	2020)			dengan RTE, serta mengungguli pendekatan lain seperti Arima dan model					
				ANN tradisional. Hasil evaluasi menunjukkan bahwa pendekatan ini					
				menghasilkan akurasi ramalan yang tinggi, dengan nilai MAE 808.317,					
				MAPE 1.493%, MBE 21.744, dan MBPE 0.023%.					
13	(Narejo et al.,	Temporal Deep	Curah hujan	Penelitian ini menunjukkan bahwa model Temporal DBN mengungguli					
	2021)	Belief Network		model CNN konvensional dalam hal prediksi curah hujan. Model DBN					
		(DBN)		yang dimodifikasi dengan struktur lapisan tersembunyi (300-200-100-10)					
				menunjukkan performa terbaik dengan nilai					
				MSE sebesar 4.59×10–54.59×10–5, RMSE sebesar 0.00680.0068, dan					
				nilai koefisien korelasi RR sebesar 0.940.94 pada sampel pengujian.					
14	(Lin et al., 2021)	TCN	Kecepatan	Hasil eksperimen menunjukkan bahwa model TCN mencapai MAPE					
			angin	sebesar 5.13% untuk prediksi daya angin selama 72 jam, yang memenuhi					
				persyaratan proyek energi terbarukan mereka. Penelitian ini menekankan					
				bahwa TCN lebih unggul dibandingkan dengan model lain dalam hal					
				volume data <i>input</i> , stabilitas pengurangan kesalahan, dan akurasi prediksi.					
15	(Dolatabadi et	BLSTM	Kecepatan	Fokus utama dari penelitian ini adalah untuk menunjukkan efektivitas					
	al., 2020)	+DWPT	angin	model hibrida yang menggabungkan DWPT dan BLSTM dalam					

No	Penulis	Algoritma	Fitur	Fokus Pembahasan					
				memprediksi kecepatan angin dibandingkan dengan model-model lain					
				yang lebih sederhana. Penelitian ini menyoroti bahwa kombinasi DWPT					
				dan BLSTM dapat lebih baik dalam menangkap pola kompleks dan non-					
				linear dalam data kecepatan angin. Hasil evaluasi menunjukkan bahwa					
				model ini memiliki kinerja yang superior dibandingkan dengan arsitektur					
				dangkal dan model pembelajaran mendalam lainnya.					
16	(Mishra et al.,	Deep	Kecepatan	Hasil penelitian menunjukkan bahwa					
	2020)	Convolutional	Angin	model Attention dan DCN memberikan performa terbaik ketika					
		Network	Suhu	menggunakan transformasi data melalui Wavelet atau FFT, sementara					
		(DCN)		beberapa model lainnya lebih baik tanpa manipulasi data.					

# 2.2.2. Matriks Penelitian

Matriks penelitian digunakan untuk membandingkan penelitian yang dilakukan dengan studi terdahulu. Analisis ini bertujuan mengidentifikasi kesenjangan penelitian yang mendukung pengembangan model dalam studi ini. Tabel 2.2 menyajikan perbandingan komprehensif terhadap penelitian sebelumnya.

Tabel 2. 2 Matriks Penelitian

			Fitur				
No	Penulis	Algoritma	Suhu Minimum	Suhu Maksimum	Curah Hujan	Kecepatan Angin	
1	(Furizal et al., 2024)	GRU dan LSTM		V	-	-	
2	(Gaol et al., 2024)	LSTM dan MLP	-	-		-	
3	(Yan et al., 2020)	GRU+ attention mechanism	-	-	-	V	
4	(J. Lee et al., 2020)	ANN	-	-		-	
4	(Alam et al., 2024)	LSTM, CNN, dan RNN		V		V	
6	(Chen et al., 2022a)	LSTM	-	-		-	
7	(Kieu Tran et al., 2020)	LSTM dan GA	-	V	-	-	
8	(Suresh et al., 2020)	CNN-LSTM		V	-	V	
9	(Bi et al., 2023)	3D deep neural networks		V	-	V	
10	(Kumar et al., 2021)	ConvLSTM	-	-		-	
11	(S. Lee et al., 2020)	CNN		V	-	-	
12	(Del Real et al., 2020)	CNN + ANN		V	-	-	

			Fitur			
No	Penulis	Algoritma	Suhu Minimum	Suhu Maksimum	Curah Hujan	Kecepatan Angin
13	(Narejo et al., 2021)	Temporal Deep Belief Network (DBN)	-	-	V	-
14	(Lin et al., 2021)	TCN	-	-	-	$\sqrt{}$
15	(Dolatabadi et al., 2020)	BLSTM+DWPT	-	-	-	$\sqrt{}$
16	(Mishra et al., 2020)	Deep Convolutional Network (DCN)		V	-	V
17	Penelitian ini	GRU+LSTM	$\sqrt{}$	$\sqrt{}$	$\sqrt{}$	$\sqrt{}$

#### 2.1.9. Kebaruan Penelitian

Tabel 2.2 menyajikan matriks penelitian yang menunjukan perbedaan antara penelitian yang dilakukan dengan studi sebelumnya. Penelitian terdahulu telah mengeksplorasi berbagai model, seperti LSTM, GRU, CNN dan juga berbagai pendekatan lainnya. Penelitian ini menawarkan dua kebaruan signifikan. Pertama, penelitian ini mengusulkan pengembangan pendekatan hybrid GRU-LSTM untuk menggabungkan keunggulan model kedua arsitektur model. Kedua, penelitian ini melakukan pengembangan model multioutput yang secara spesifik menggunakan variabel-variabel yang memengaruhi terjadinya potensi cuaca ekstrem Dengan demikian, hasil dari penelitian ini diharapkan dapat memperluas pemahaman dan penerapan arsitektur deep learning dalam konteks peramalan cuaca dan dapat memberikan kontribusi dalam efektivitas peramalan cuaca.